

治山用コンクリートの圧縮破壊靭性の決定

林業試験場九州支場 陶山正憲

1. 材料強度のパラメータと破壊靭性試験の意義

治山用構造材料としては、現在コンクリートが最も多く使用されている。コンクリートは材質的に空隙や微小き裂のような、き裂または力学的にき裂と等価な潜在性欠陥（不連続部）を含むせん性不均質材料であり、しかもその破壊は“割れ”的形態をとるので、コンクリートの材料強度のパラメータ¹⁾としては、平滑材（無き裂材）に対する従来の降伏点（ σ_{ys} ）とともに欠陥材（き裂材）に対する新しい破壊靭性（ K_c または G_c ）も使用する必要がある。

さて、コンクリートのようなせん性材料の破壊靭性の決定には、ASTMの平面ひずみ破壊靭性試験法²⁾に準拠した曲げによる試験法（例えば文献3）と、筆者らの開発した圧縮による試験法（同じく4）が既に提案されている。これら2つの試験方法には、それぞれに長所と短所があるが、①コンクリートは一般に圧縮材として使用されること、②試験装置が比較的簡便であること、などに注目すれば、圧縮による破壊靭性試験法の方が若干有利であると考えられる。

本報では、圧縮による中央スリット入りコンクリート円板の破壊機構と、コンクリートの圧縮破壊靭性の決定方法について破壊力学的検討を行う。

2. 中央スリット入り円板の集中圧縮破壊試験法

試験片の形状は、図-1に示す中央スリット入り円板で、その寸法は直径 $2R=20\text{cm}$ 、板厚 $t=2R/3$ 、スリット長 $2a=4\text{cm}$

スリット幅 1mm を目標に成形した。これとは別に、同一直径、同一板厚の無スリット円板試験片も作製した。

試験の方法は、図-1に示す中央スリット入り円板の中心に集中圧縮載荷する方法である。その際、荷重線と円板スリットの傾斜角 β は、 $\beta=0, 30, 45^\circ$ 図-1 コンクリート円板の集中圧縮破壊試験の方法

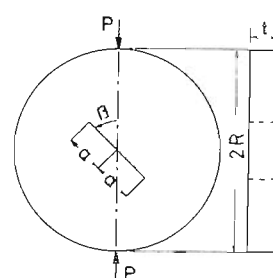


表-1 コンクリートの系列別配合

系 列 の種類	重量配合比				空気量 (%)	スランプcm (フロー値)
	粗骨材 セメント	水	細骨材	粗骨材 セメント		
I 川砂利	1.0	0.52	2.5	3.5	2.4	8.1
II 碎石					2.6	5.5
III (モルタル)	1.0	0.52	2.5	—	1.8	(21.2)

表-2 使用骨材の種類別粒度

粗骨材 (細骨材)	フルイ残留重量比 (%)					FM値	比重
	25 (2.5)	20 (1.2)	15 (0.6)	10 (0.3)	5 (0.15)		
川砂利	0	21	50	82	100	7.03	2.66
碎石	0	0	35	65	100	6.65	2.66
川砂	(13)	(33)	(59)	(90)	(100)	2.95	2.61

(註) セメントの比重は3.15

60, 90°に変えて、それぞれの破壊荷重を測定するとともに、き裂発生位置、伝播方向などを詳細に観測した。試験機はアムスラ型耐圧試験機（使用容量25ton）で、荷重速度はほぼ一定（2ton/min）に保つた。

コンクリートの破壊機構は、使用した骨材の形状や粒径の影響を受けるものと考えられるので、供試コンクリートには川砂利コンクリート、碎石コンクリートならびにモルタルを用いた。なお、細骨材は3系列とも同一粒度の川砂を、セメントは普通ポルトランドセメントを使用した。

これら3系列の供試材の配合と使用骨材の粒度を、それぞれ表-1と表-2に示す。

3. スリット傾斜角とき裂発生の方向に関する検討

中央スリット入りコンクリート円板に集中圧縮荷重を負荷し、破壊の開始に至るまで詳細に観察すると、

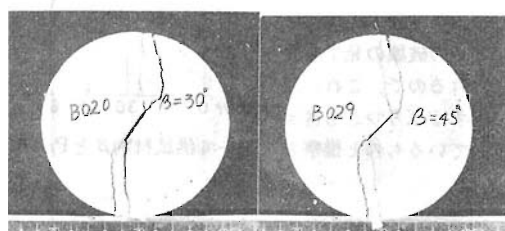


図-2 スリット入りコンクリート円板の破壊様相

図-2のようにスリットの傾斜角別にき裂の発生、進行、伝播などに関する一定の傾向があるかがわれる。

一般に先在するき裂端から発生する新しい割れの角度は、き裂端における最大周方向応力説によって解析解が求められる。最大周方向応力説によれば、オ₁、オ₂モードの応力拡大係数比 K_1/K_0 は

図-3 β と θ の関係
($\%R = 0.2$)

4. スリット傾斜角と破壊荷重との関係

スリット傾斜角 β の変化が破壊荷重 P_f に及ぼす影響をみると、各 β に対する3系列のコンクリート試験片の P_f 値を図-4に示した。なお図-4には、無スリット円板試験片の P_f 値も併記した。結果として、破壊荷重 P_f は $\beta=30\sim45^\circ$ で最低値になる傾向があるがわ
れるが、これについて
は更に β の種類を増加
して検討する必要があ
る。また、各 β に対す
る P_f の値にはある程度
のばらつきが認められ
るが、この原因として、
荷重の負荷条件やスリ
ット先端の形状などに
による影響が考えられる。
特に $\beta=90^\circ$ の場合に
は、スリット先端以外
からの破壊の発生も見
られるので、これに起
因するばらつきも含ま
れているものと推察さ
れる。

スリット傾斜角 β (度)	モルタル P_f (ton)	粗粒モルタル P_f (ton)	碎石コンクリート P_f (ton)
0	6.5	6.5	6.0
30	4.2	4.5	4.5
45	4.0	4.0	4.0
60	4.0	4.0	4.0

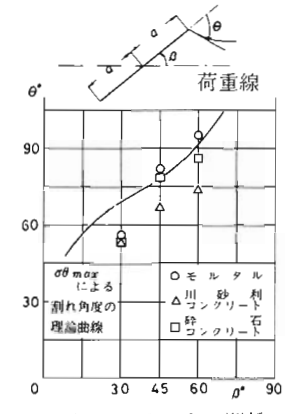


図-3 β と θ の関係
($\sqrt{R} = 0.2$)

材料定数	破壊靱性		破壊荷重		最大荷重		圧縮強度		引張強度	
	K _{Ic}	C	P _f	C	P _{max}	C	σ_c	σ_t		
供試材 モルタル	52.7	6	4120	6	7130	7	396	32.6		
川砂利コンクリート	56.5	6	4510	5	6410	5	341	31.2		
碎石コンクリート	54.5	7	4340	6	5740	7	316	27.7		

れる。しかしながら、無スリット円板の P_f 値に比しスリット入り円板の P_f 値の方がばらつきが小さくなる傾向は注目に値する。

5. コンクリートの圧縮破壊革性に関する検討

中央スリット入り円板がスリット線に沿って集中圧縮荷重を受ける場合 ($\beta = 0^\circ$) には、筆者らが導いた応力拡大係数 K の近似解を用いると、破壊荷重 F_p に対する破壊時の応力拡大係数 K_{1f} が次式から求められる。

$$K_1 = F_p \sqrt{a/\pi} / R t \quad ; \quad F = 1.0 + 1.5 (a/R)^2 \dots (2)$$

表-3には、中央スリット入り円板試験片による破壊韧性値、破壊荷重ならびに無スリット円板試験片による最大荷重の各平均値とその変動係数を供試材別に整理した。なお同表には、従来のJIS試験法による材料定数(圧縮、引張強度)も比較のため併記した。

結果として、 P_{max} 、 σ_c 、 σ_t の値がいずれも、モルタル > コンクリート、となるに対し、 K_{Hf} 値と P_f 値はともに、コンクリート > モルタル、という逆の傾向を示した。この事実は、き裂材の強度を平滑材の強度から簡単に推定することの困難さを示す貴重な結果のひとつとして注目に値する。また全ての材料定数について、その値が、川砂利コンクリート > 砕石コンクリート、の傾向を示したのは、使用した粗骨材とモルタルとの附着力の差より、粗骨材自体の強度の差が大きく影響したものと推察される。

なお、ここで得られた K_{if} 値には若干のばらつき、(変動係数C)が認められるが、この程度のばらつきの範囲内であれば、き裂材の材料定数としての破壊韌性値の有用性が、実用上十分認められる。

引用文献

- 1) 陶山正憲：日林九支研論，31，275～276，1977
 - 2) A S T M Committee : A S T M Standard , E 399—74, 1974
 - 3) 陶山正憲：新砂防，101，9～16，1976
 - 4) 北川英夫，陶山正憲，金相哲：19回材研連講，157～158，1975
 - 5) 金 相哲，陶山正憲，北川英夫：土木学会第 9 回岩盤力学シンポ講，16～20，1975